

Algorithmes à front d'onde et accès transparent aux données

Pierre-Nicolas Clauss

Équipe-projet ALGorille



Plan général

- 1 Algorithmes à front d'onde
- 2 Accès aux données
- 3 Synchronisation
- 4 Résultats expérimentaux
- 5 Conclusions et perspectives

Plan

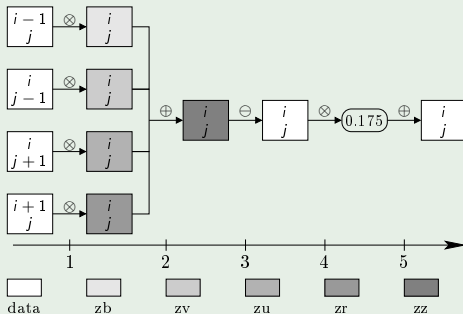
- 1 Algorithmes à front d'onde
 - Benchmark de référence
 - Modèle algorithmique
- 2 Accès aux données
- 3 Synchronisation
- 4 Résultats expérimentaux
- 5 Conclusions et perspectives

Benchmark *LINPACK**Livermore Kernel 23*

```

pour  $l = 1$  à  $Loops$  faire
  pour  $j = 2$  à  $M - 1$  faire
    pour  $i = 2$  à  $N - 1$  faire
       $q \leftarrow data[j][i - 1] * zb[j][i] + data[j - 1][i] * zv[j][i]$ 
         $+ data[j + 1][i] * zu[j][i] + data[j][i + 1] * zr[j][i]$ 
         $+ zz[j][i]$ 
       $data[j][i] \leftarrow data[j][i] + 0.175 * (q - data[j][i])$ 
    fin pour
  fin pour
fin pour

```



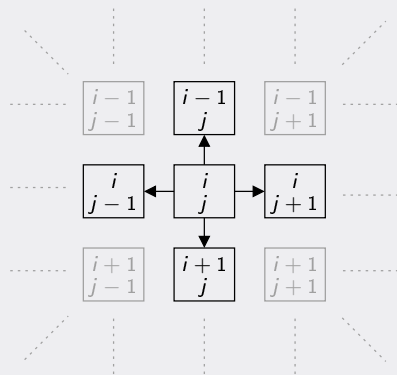
Plan

- 1 Algorithmes à front d'onde
 - Benchmark de référence
 - **Modèle algorithmique**
- 2 Accès aux données
- 3 Synchronisation
- 4 Résultats expérimentaux
- 5 Conclusions et perspectives

Dépendance de données

Caractéristiques des algorithmes à front d'onde

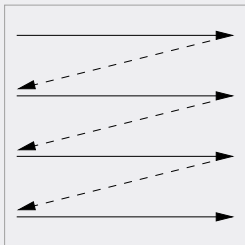
- Espace de données discret
- Calculs locaux
- Calculs itératifs
- Calculs potentiellement Out-of-Core



Modèles d'exécution

Exécution séquentielle

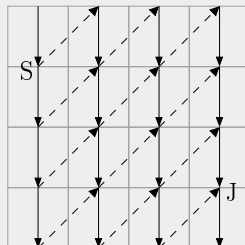
j ↓ i →



- Parcours lignes par lignes

Exécution parallèle

i ↓ j →

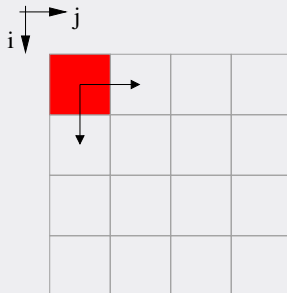


- Parcours blocs par blocs

Onde de calcul

Progression des calculs

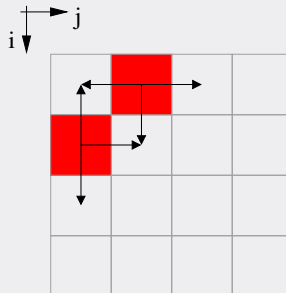
- Phase transitoire
- Enchaînement des vagues
- Régime permanent



Onde de calcul

Progression des calculs

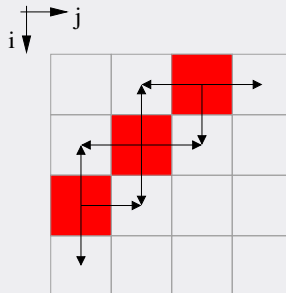
- Phase transitoire
- Enchaînement des vagues
- Régime permanent



Onde de calcul

Progression des calculs

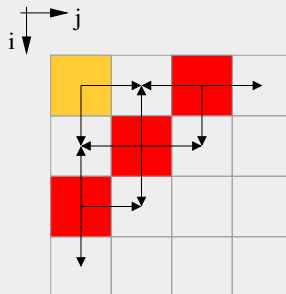
- Phase transitoire
- Enchaînement des vagues
- Régime permanent



Onde de calcul

Progression des calculs

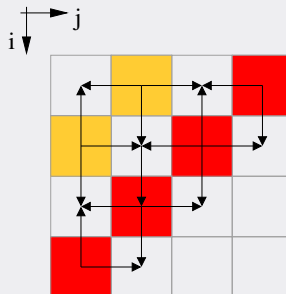
- Phase transitoire
- Enchaînement des vagues
- Régime permanent



Onde de calcul

Progression des calculs

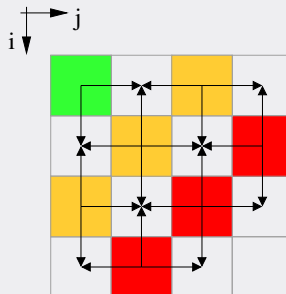
- Phase transitoire
- Enchaînement des vagues
- Régime permanent



Onde de calcul

Progression des calculs

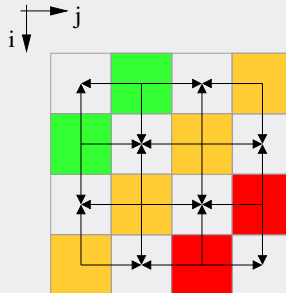
- Phase transitoire
- Enchaînement des vagues
- Régime permanent



Onde de calcul

Progression des calculs

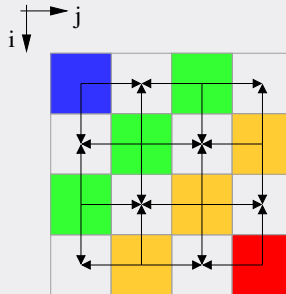
- Phase transitoire
- Enchaînement des vagues
- Régime permanent



Onde de calcul

Progression des calculs

- Phase transitoire
- Enchaînement des vagues
- Régime permanent

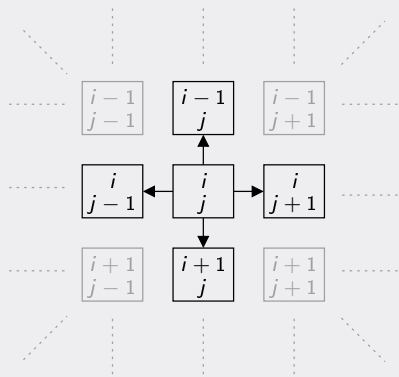


Plan

- 1 Algorithmes à front d'onde
- 2 Accès aux données
 - Type d'accès
 - Stockage sur disque
- 3 Synchronisation
- 4 Résultats expérimentaux
- 5 Conclusions et perspectives

Accès aux éléments

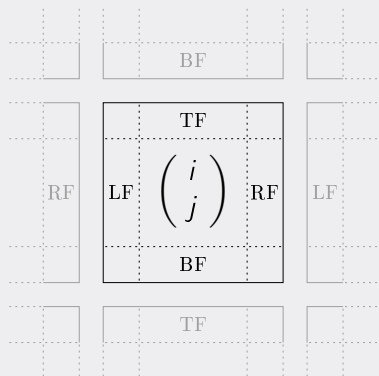
Dépendance de données



- Lecture des 4 voisins

Accès aux blocs

Communications



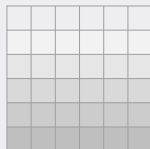
- Regroupement en blocs
- 4 frontières par bloc
- Lecture des frontières voisines

Plan

- 1 Algorithmes à front d'onde
- 2 Accès aux données
 - Type d'accès
 - Stockage sur disque
- 3 Synchronisation
- 4 Résultats expérimentaux
- 5 Conclusions et perspectives

Vers un stockage optimisé

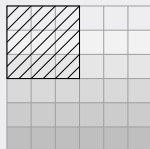
Stockage par lignes « canonique »



- Stockage d'origine
- **Problème : Accès non-contigus aux blocs**

Vers un stockage optimisé

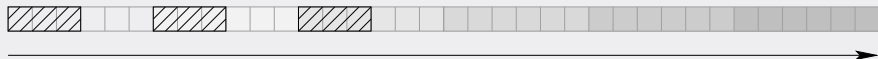
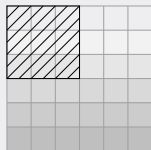
Stockage par lignes « canonique »



- Stockage d'origine
- **Problème : Accès non-contigus aux blocs**

Vers un stockage optimisé

Stockage par lignes « canonique »



- Stockage d'origine
- **Problème : Accès non-contigus aux blocs**

Approches possibles

Approche applicative

- Philip Rhodes *et al.*, 2005
- Améliorer la politique de préchargement
- Utilisation de la connaissance du sens de parcours
- Effort contradictoire
 - Avec la politique du système d'exploitation
 - Avec une parallélisation souple et performante

Approche système

- Eddy Caron *et al.*, 1999
- Modification du gestionnaire de mémoire virtuelle
- Bonnes performances
- Fortement lié à une application

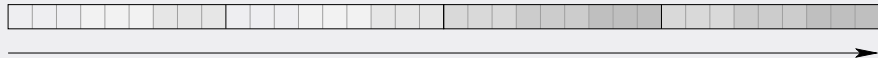
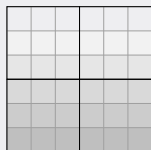
Approche *Out-of-core*

Gestion applicative du problème

- Eddy Caron, Frédéric Suter *et al.*, 2005
- Superposition des calculs et communications sur les E/S
- Pas de gestion de l'agencement des données sur disque

Vers un stockage optimisé

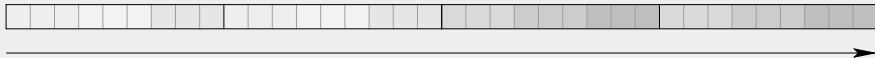
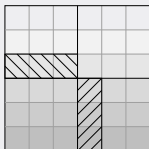
Stockage par blocs



- Siddartha Chatterjee *et al.*, 1999
- Accès contigus aux blocs
- Stockage interne des blocs en lignes
- **Problème** : Accès non-contigus aux frontières verticales

Vers un stockage optimisé

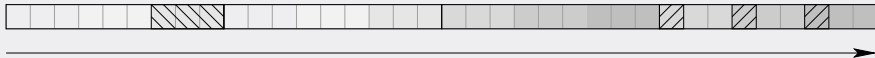
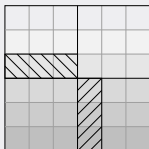
Stockage par blocs



- Siddartha Chatterjee *et al.*, 1999
- Accès contigus aux blocs
- Stockage interne des blocs en lignes
- **Problème** : Accès non-contigus aux frontières verticales

Vers un stockage optimisé

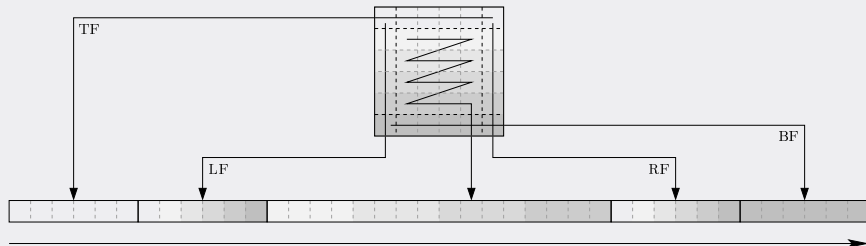
Stockage par blocs



- Siddartha Chatterjee *et al.*, 1999
- Accès contigus aux blocs
- Stockage interne des blocs en lignes
- **Problème : Accès non-contigus aux frontières verticales**

Vers un stockage optimisé

Stockage étendu : détail d'un bloc



- Accès contigus aux blocs
- Accès contigus aux frontières
- Duplication des éléments communs aux frontières

Inconvénients du stockage étendu

Propagation des copies

- Nécessité de propager une copie de chaque modification d'un coin d'un bloc
- Les langages modernes permettent une implémentation qui cache cette nécessité

Augmentation du volume de données

- Taille des données dans le stockage étendu :

$$T' = T * \left(1 + \frac{4 * F_h * F_v}{R * C} \right) \text{ avec } F_h \leq R \text{ et } F_v \leq C$$

- Facteur de surcoût de l'ordre du pourcent dans un cas réel

Changement d'agencement

- Pré- et post-traitements

Plan

- 1 Algorithmes à front d'onde
- 2 Accès aux données
- 3 Synchronisation
 - **Modèle**
 - Forme canonique
 - Calculs itératifs
 - Initialisation
- 4 Résultats expérimentaux
- 5 Conclusions et perspectives

Problématique

Caractéristiques

- Algorithme à front d'onde : accéder aux données voisines
- Accès exclusifs ou inclusifs
- Nécessité de synchroniser entre les blocs de données

Modèle générique

- Calculs sur des données prédécoupées en *lieux*
- Synchronisation conforme à la sémantique des *Read-Write Locks* (RWL)
- Dépendances de données entre les tâches
- Possibilité de calculs itératifs

Ordered Read-Write Locks

Outils existants

- Read-Write Locks (Posix, 2004) (C. Wagner et F. Mueller, 2000)
- Capture atomique (Yehuda Afek *et al.*, 1993)
 - Centrée sur les opérations sans attentes
- Mutex avec FIFO (Robert Danek *et al.*, 2008)
 - Pas de différenciation entre les types d'accès

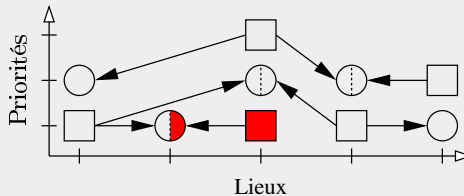
ORWL : Outil bas-niveau

- Accès concurrents en lecture (requêtes ○)
- Accès exclusifs en écriture (requêtes □)
- Politique d'attente FIFO
- Orientés ressource
 - Accès à travers un *Lock Handle* (LH)
 - Accès pro-actifs contrôlés

Modélisation d'un système

Overlay

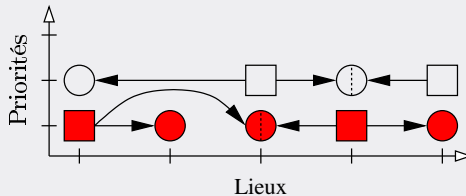
- Un ensemble de *lieux* verrouillables
- Un ensemble de tâches représentées par des requêtes connectées
- Exécution d'une tâche :
 - 1 Acquisition des requêtes
 - 2 Calculer
 - 3 Retirer les requêtes



Modélisation d'un système

Overlay

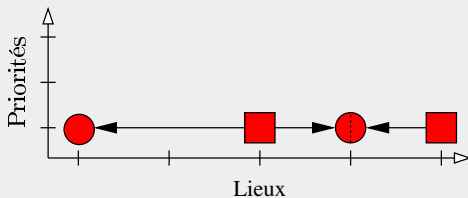
- Un ensemble de *lieux* verrouillables
- Un ensemble de tâches représentées par des requêtes connectées
- Exécution d'une tâche :
 - 1 Acquisition des requêtes
 - 2 Calculer
 - 3 Retirer les requêtes



Modélisation d'un système

Overlay

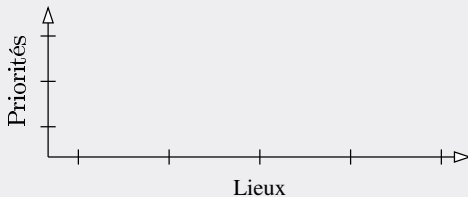
- Un ensemble de *lieux* verrouillables
- Un ensemble de tâches représentées par des requêtes connectées
- Exécution d'une tâche :
 - 1 Acquisition des requêtes
 - 2 Calculer
 - 3 Retirer les requêtes



Modélisation d'un système

Overlay

- Un ensemble de *lieux* verrouillables
- Un ensemble de tâches représentées par des requêtes connectées
- Exécution d'une tâche :
 - 1 Acquisition des requêtes
 - 2 Calculer
 - 3 Retirer les requêtes

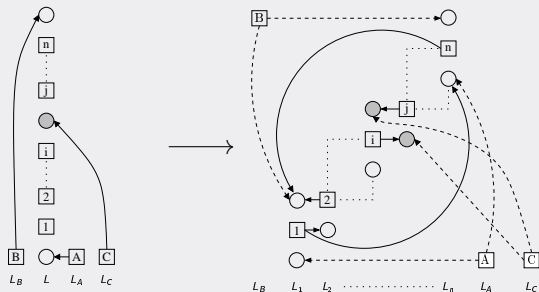


Plan

- 1 Algorithmes à front d'onde
- 2 Accès aux données
- 3 Synchronisation
 - Modèle
 - **Forme canonique**
 - Calculs itératifs
 - Initialisation
- 4 Résultats expérimentaux
- 5 Conclusions et perspectives

Construction de la forme canonique

Identification des requêtes, des tâches et des lieux

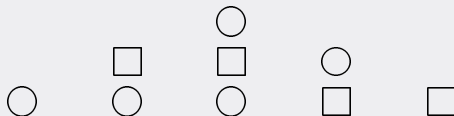


- Conserve l'ordre dans lequel les requêtes originales sont acquises
- Taille de l'overlay canonique linéaire par rapport à la taille de l'overlay d'origine

Avantage de la forme canonique

Combinaisons canoniques

- Implémentation simplifiée



- Preuves des propriétés du modèle

Plan

- 1 Algorithmes à front d'onde
- 2 Accès aux données
- 3 Synchronisation
 - Modèle
 - Forme canonique
 - **Calculs itératifs**
 - Initialisation
- 4 Résultats expérimentaux
- 5 Conclusions et perspectives

Structure du calcul itératif

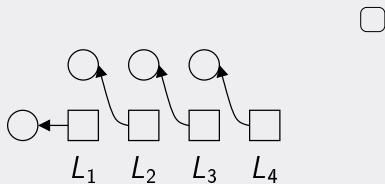
Tâches itératives

- Les tâches peuvent s'exécuter plusieurs fois
- L'exécution est contrôlée par un événement externe
 - Stabilisation des calculs
 - Nombre d'itérations prédéfini
- Les ORWL permettent de poster de nouvelles requêtes similaires à celles déjà acquises

Modèle d'exécution des tâches itératives

Exemple d'évolution

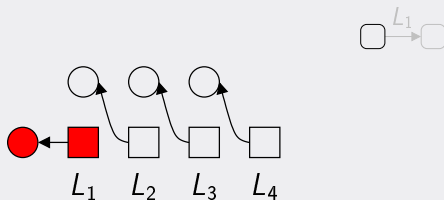
- 1 Acquisition des requêtes (itération courante)
- 2 Poster de nouvelles requêtes (prochaine itération)
- 3 Calculer
- 4 Retirer les requêtes (itération courante)



Modèle d'exécution des tâches itératives

Exemple d'évolution

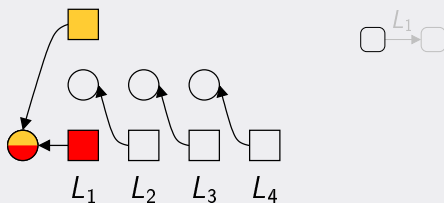
- 1 Acquisition des requêtes (itération courante)
- 2 Poster de nouvelles requêtes (prochaine itération)
- 3 Calculer
- 4 Retirer les requêtes (itération courante)



Modèle d'exécution des tâches itératives

Exemple d'évolution

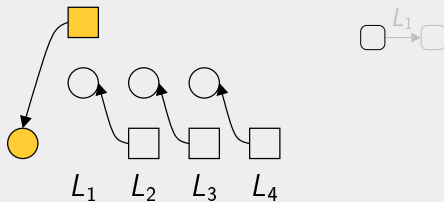
- ① Acquisition des requêtes (itération courante)
- ② Poster de nouvelles requêtes (prochaine itération)
- ③ Calculer
- ④ Retirer les requêtes (itération courante)



Modèle d'exécution des tâches itératives

Exemple d'évolution

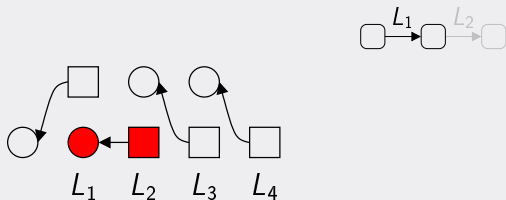
- 1 Acquisition des requêtes (itération courante)
- 2 Poster de nouvelles requêtes (prochaine itération)
- 3 Calculer
- 4 Retirer les requêtes (itération courante)



Modèle d'exécution des tâches itératives

Exemple d'évolution

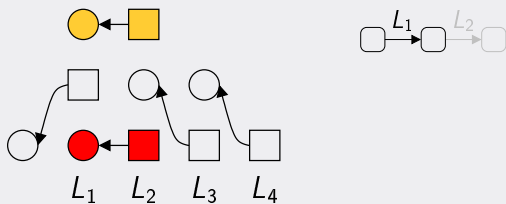
- 1 Acquisition des requêtes (itération courante)
- 2 Poster de nouvelles requêtes (prochaine itération)
- 3 Calculer
- 4 Retirer les requêtes (itération courante)



Modèle d'exécution des tâches itératives

Exemple d'évolution

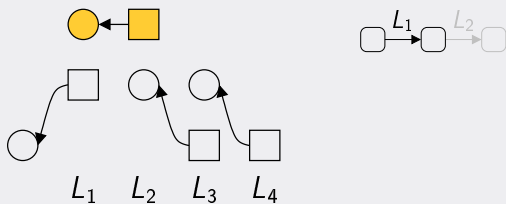
- 1 Acquisition des requêtes (itération courante)
- 2 Poster de nouvelles requêtes (prochaine itération)
- 3 Calculer
- 4 Retirer les requêtes (itération courante)



Modèle d'exécution des tâches itératives

Exemple d'évolution

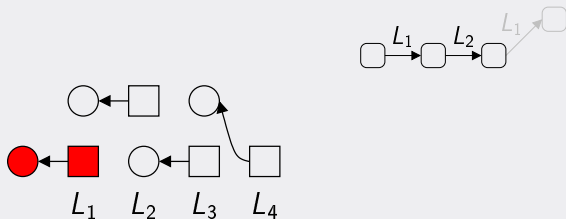
- 1 Acquisition des requêtes (itération courante)
- 2 Poster de nouvelles requêtes (prochaine itération)
- 3 Calculer
- 4 Retirer les requêtes (itération courante)



Modèle d'exécution des tâches itératives

Exemple d'évolution

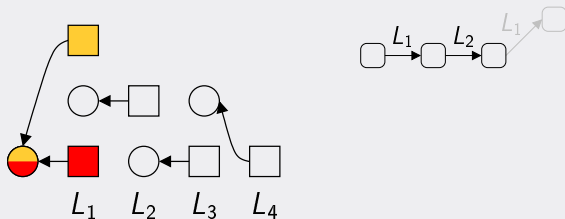
- ① Acquisition des requêtes (itération courante)
- ② **Poster de nouvelles requêtes (prochaine itération)**
- ③ Calculer
- ④ Retirer les requêtes (itération courante)



Modèle d'exécution des tâches itératives

Exemple d'évolution

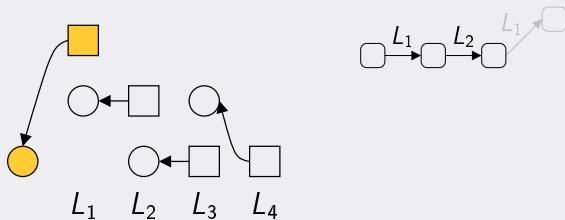
- 1 Acquisition des requêtes (itération courante)
- 2 Poster de nouvelles requêtes (prochaine itération)
- 3 Calculer
- 4 Retirer les requêtes (itération courante)



Modèle d'exécution des tâches itératives

Exemple d'évolution

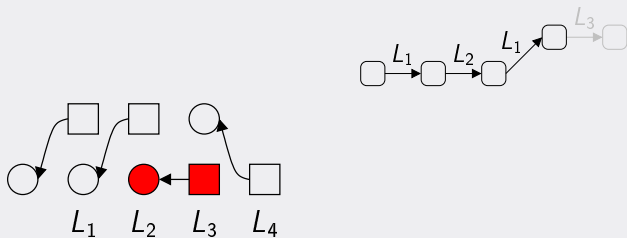
- 1 Acquisition des requêtes (itération courante)
- 2 Poster de nouvelles requêtes (prochaine itération)
- 3 Calculer
- 4 Retirer les requêtes (itération courante)



Modèle d'exécution des tâches itératives

Exemple d'évolution

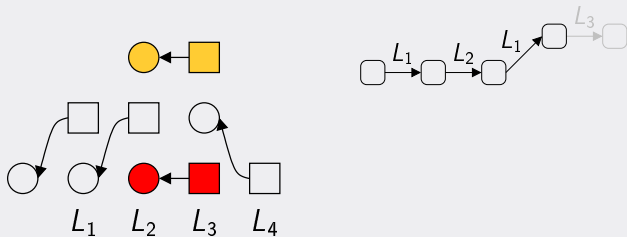
- 1 Acquisition des requêtes (itération courante)
- 2 Poster de nouvelles requêtes (prochaine itération)
- 3 Calculer
- 4 Retirer les requêtes (itération courante)



Modèle d'exécution des tâches itératives

Exemple d'évolution

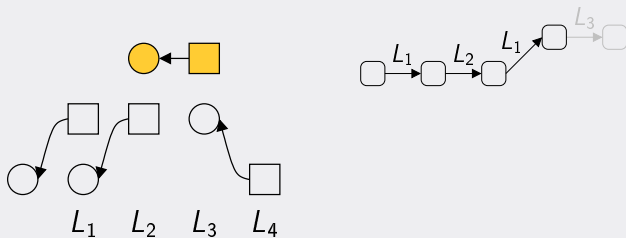
- 1 Acquisition des requêtes (itération courante)
- 2 Poster de nouvelles requêtes (prochaine itération)
- 3 Calculer
- 4 Retirer les requêtes (itération courante)



Modèle d'exécution des tâches itératives

Exemple d'évolution

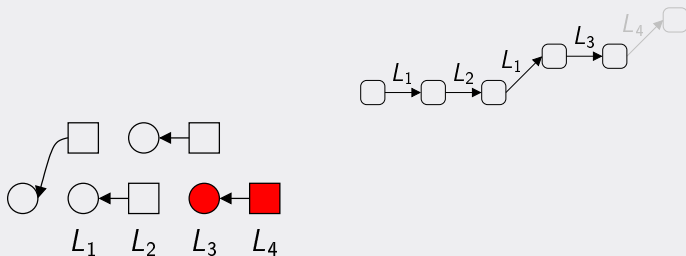
- 1 Acquisition des requêtes (itération courante)
- 2 Poster de nouvelles requêtes (prochaine itération)
- 3 Calculer
- 4 Retirer les requêtes (itération courante)



Modèle d'exécution des tâches itératives

Exemple d'évolution

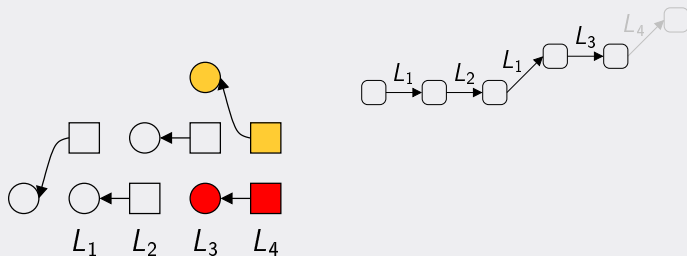
- 1 Acquisition des requêtes (itération courante)
- 2 Poster de nouvelles requêtes (prochaine itération)
- 3 Calculer
- 4 Retirer les requêtes (itération courante)



Modèle d'exécution des tâches itératives

Exemple d'évolution

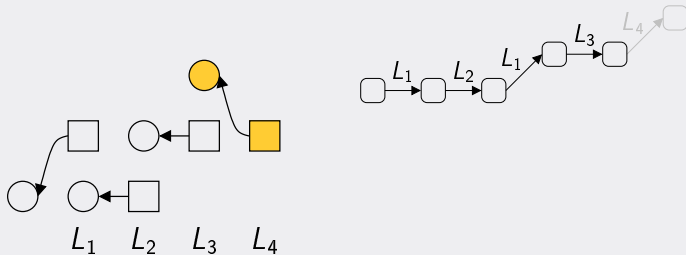
- 1 Acquisition des requêtes (itération courante)
- 2 Poster de nouvelles requêtes (prochaine itération)
- 3 Calculer
- 4 Retirer les requêtes (itération courante)



Modèle d'exécution des tâches itératives

Exemple d'évolution

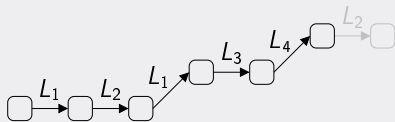
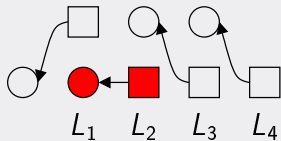
- 1 Acquisition des requêtes (itération courante)
- 2 Poster de nouvelles requêtes (prochaine itération)
- 3 Calculer
- 4 Retirer les requêtes (itération courante)



Modèle d'exécution des tâches itératives

Exemple d'évolution

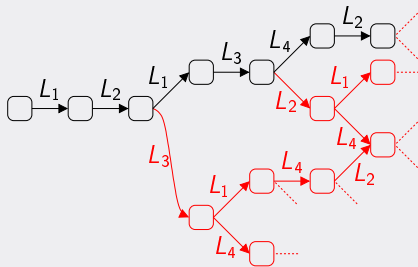
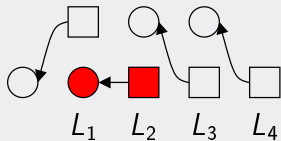
- 1 Acquisition des requêtes (itération courante)
- 2 Poster de nouvelles requêtes (prochaine itération)
- 3 Calculer
- 4 Retirer les requêtes (itération courante)



Modèle d'exécution des tâches itératives

Exemple d'évolution

- 1 Acquisition des requêtes (itération courante)
- 2 Poster de nouvelles requêtes (prochaine itération)
- 3 Calculer
- 4 Retirer les requêtes (itération courante)



Structure algébrique

Théorème

L'espace de configurations construit à partir d'une configuration initiale et de la règle d'évolution est un treillis combinatoire

Définition d'un treillis

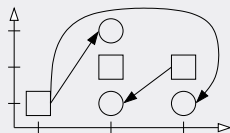
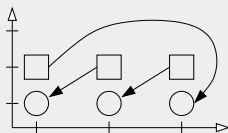
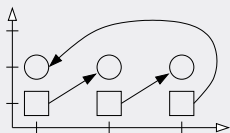
- Ensemble partiellement ordonné
- Tout couple d'éléments admet une borne supérieure et une borne inférieure uniques

Propriétés

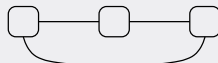
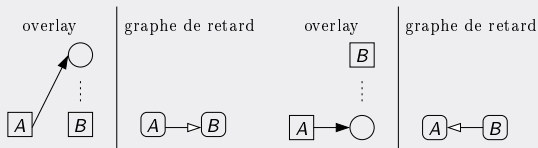
- Progression homogène des tâches
- Treillis fini \iff Présence d'un interblocage

Interblocages

Détection des interblocages

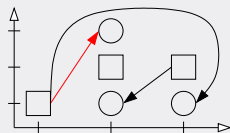
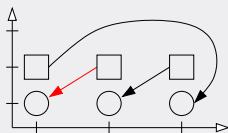
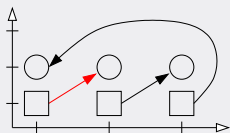


- Graphe orienté de retard : graphe de conflit orienté
- Interblocage \iff circuit dans le graphe de retard

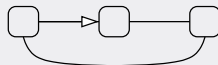
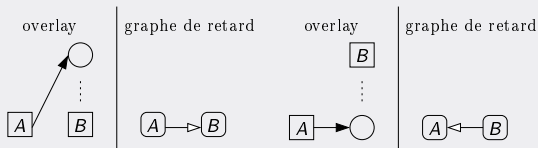


Interblocages

Détection des interblocages

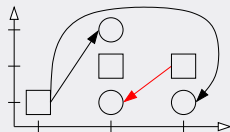
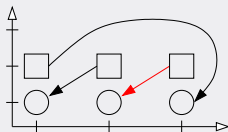
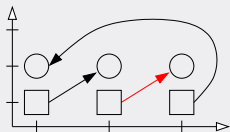


- Graphe orienté de retard : graphe de conflit orienté
- Interblocage \iff circuit dans le graphe de retard

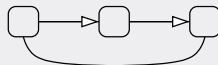
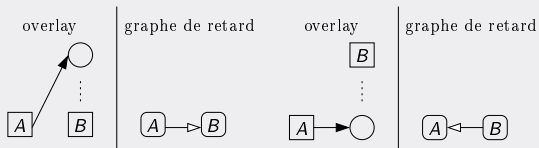


Interblocages

Détection des interblocages

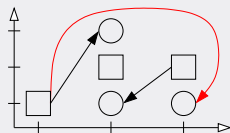
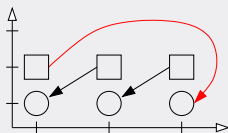
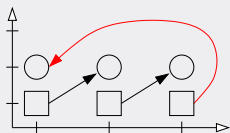


- Graphe orienté de retard : graphe de conflit orienté
- Interblocage \iff circuit dans le graphe de retard

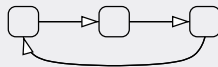
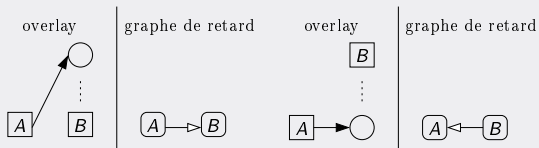


Interblocages

Détection des interblocages

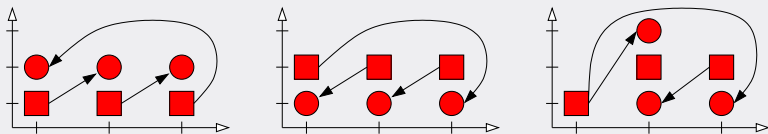


- Graphe orienté de retard : graphe de conflit orienté
- Interblocage \iff circuit dans le graphe de retard

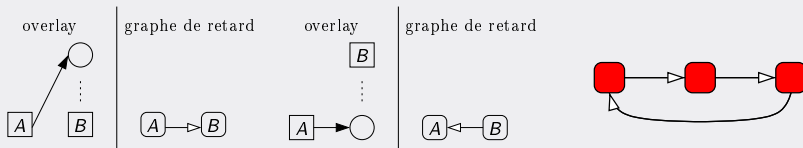


Interblocages

Détection des interblocages



- Graphe orienté de retard : graphe de conflit orienté
- Interblocage \iff circuit dans le graphe de retard



Propriétés du modèle sur les interblocages

Exécution avec ou sans interblocages

- Un interblocage ne peut pas être supprimé
- Un interblocage ne peut pas être créé
- Une exécution sans interblocage continue jusqu'à un évènement externe
 - Stabilisation
 - Action de l'utilisateur
- Les interblocages peuvent être détectés *a priori*

Plan

- 1 Algorithmes à front d'onde
- 2 Accès aux données
- 3 Synchronisation
 - Modèle
 - Forme canonique
 - Calculs itératifs
 - Initialisation
- 4 Résultats expérimentaux
- 5 Conclusions et perspectives

Initialisation d'un overlay

Algorithme d'initialisation

- Un ensemble de tâches \mathcal{T} et un ensemble de lieux \mathcal{L}
- Pour chaque tâche $T_i \in \mathcal{T}$, une liste de lieux (X_1, \dots, X_{w_i}) et une liste de lieux (I_1, \dots, I_{r_i}) où placer des requêtes

1 Construire une représentation implicite du graphe de conflit $C(\mathcal{T})$

2 Calculer un coloriage $\mathcal{T}_1, \dots, \mathcal{T}_n$ de $C(\mathcal{T})$

3 pour tout lieu $L \in \mathcal{L}$ faire

$p(L) \leftarrow 0$

fin pour

pour toute couleur c de 1 à n faire

 pour toute tâche $T \in \mathcal{T}_c$ faire en parallèle

 pour toute requête exclusive X de T sur le lieu X_j faire

$p(X_j) \leftarrow p(X_j) + 1$

 priorité de $X \leftarrow p(X_j)$

$p(X_j) \leftarrow p(X_j) + 1$

 fin pour

 pour toute requête inclusive I de T sur le lieu

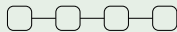
I_j faire

 priorité de $I \leftarrow p(I_j)$

 fin pour

 fin pour

fin pour



L_1 L_2 L_3 L_4

2

1

0

L_1 L_2 L_3 L_4

Initialisation d'un overlay

Algorithme d'initialisation

- Un ensemble de tâches \mathcal{T} et un ensemble de lieux \mathcal{L}
- Pour chaque tâche $T_i \in \mathcal{T}$, une liste de lieux (X_1, \dots, X_{w_i}) et une liste de lieux (I_1, \dots, I_{r_i}) où placer des requêtes

1 Construire une représentation implicite du graphe de conflit $C(\mathcal{T})$

2 Calculer un coloriage $\mathcal{T}_1, \dots, \mathcal{T}_n$ de $C(\mathcal{T})$

3 pour tout lieu $L \in \mathcal{L}$ faire

$p(L) \leftarrow 0$

fin pour

pour toute couleur c de 1 à n faire

 pour toute tâche $T \in \mathcal{T}_c$ faire en parallèle

 pour toute requête exclusive X de T sur le lieu X_j faire

$p(X_j) \leftarrow p(X_j) + 1$

 priorité de $X \leftarrow p(X_j)$

$p(X_j) \leftarrow p(X_j) + 1$

 fin pour

 pour toute requête inclusive I de T sur le lieu

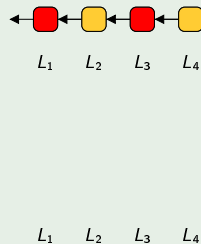
I_j faire

 priorité de $I \leftarrow p(I_j)$

 fin pour

 fin pour

fin pour



Initialisation d'un overlay

Algorithme d'initialisation

- Un ensemble de tâches \mathcal{T} et un ensemble de lieux \mathcal{L}
- Pour chaque tâche $T_i \in \mathcal{T}$, une liste de lieux (X_1, \dots, X_{w_i}) et une liste de lieux (I_1, \dots, I_{r_i}) où placer des requêtes

1 Construire une représentation implicite du graphe de conflit $C(\mathcal{T})$

2 Calculer un coloriage $\mathcal{T}_1, \dots, \mathcal{T}_n$ de $C(\mathcal{T})$

3 pour tout lieu $L \in \mathcal{L}$ faire

$p(L) \leftarrow 0$

fin pour

pour toute couleur c de 1 à n faire

pour toute tâche $T \in \mathcal{T}_c$ faire en parallèle

pour toute requête exclusive X de T sur le

lieu X_j faire

$p(X_j) \leftarrow p(X_j) + 1$

priorité de $X \leftarrow p(X_j)$

$p(X_j) \leftarrow p(X_j) + 1$

fin pour

pour toute requête inclusive I de T sur le lieu

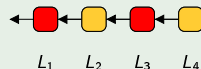
l_j faire

priorité de $I \leftarrow p(l_j)$

fin pour

fin pour

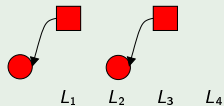
fin pour



2

1

0



Initialisation d'un overlay

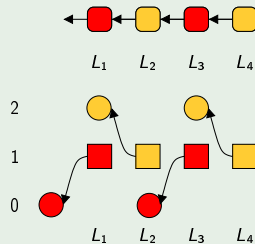
Algorithme d'initialisation

- Un ensemble de tâches \mathcal{T} et un ensemble de lieux \mathcal{L}
- Pour chaque tâche $T_i \in \mathcal{T}$, une liste de lieux (X_1, \dots, X_{w_i}) et une liste de lieux (I_1, \dots, I_{r_i}) où placer des requêtes

1 Construire une représentation implicite du graphe de conflit $C(\mathcal{T})$

2 Calculer un coloriage $\mathcal{T}_1, \dots, \mathcal{T}_n$ de $C(\mathcal{T})$

3 pour tout lieu $L \in \mathcal{L}$ faire
 $p(L) \leftarrow 0$
 fin pour
 pour toute couleur c de 1 à n faire
 pour toute tâche $T \in \mathcal{T}_c$ faire en parallèle
 pour toute requête exclusive X de T sur le lieu X_j faire
 $p(X_j) \leftarrow p(X_j) + 1$
 priorité de $X \leftarrow p(X_j)$
 $p(X_j) \leftarrow p(X_j) + 1$
 fin pour
 pour toute requête inclusive I de T sur le lieu I_j faire
 priorité de $I \leftarrow p(I_j)$
 fin pour
 fin pour



Initialisation d'un overlay

Algorithme d'initialisation

- Un ensemble de tâches \mathcal{T} et un ensemble de lieux \mathcal{L}
- Pour chaque tâche $T_i \in \mathcal{T}$, une liste de lieux (X_1, \dots, X_{w_i}) et une liste de lieux (I_1, \dots, I_{r_i}) où placer des requêtes

1 Construire une représentation implicite du graphe de conflit $C(\mathcal{T})$

2 Calculer un coloriage $\mathcal{T}_1, \dots, \mathcal{T}_n$ de $C(\mathcal{T})$

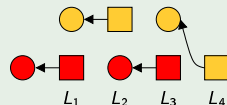
3 pour tout lieu $L \in \mathcal{L}$ faire
 $p(L) \leftarrow 0$
 fin pour
 pour toute couleur c de 1 à n faire
 pour toute tâche $T \in \mathcal{T}_c$ faire en parallèle
 pour toute requête exclusive X de T sur le lieu X_j faire
 $p(X_j) \leftarrow p(X_j) + 1$
 priorité de $X \leftarrow p(X_j)$
 $p(X_j) \leftarrow p(X_j) + 1$
 fin pour
 pour toute requête inclusive I de T sur le lieu I_j faire
 priorité de $I \leftarrow p(I_j)$
 fin pour
 fin pour
 fin pour



2

1

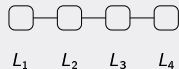
0



Propriétés de l'initialisation

Impact du coloriage

- Deux coloriage de la chaîne linéaire de 4 tâches
- Bénin : même espace de configurations



Propriétés de l'initialisation

Impact du coloriage

- Deux coloriages de la chaîne linéaire de 4 tâches
- Bénin : même espace de configurations



Propriétés de l'initialisation

Impact du coloriage

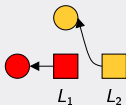
- Deux coloriage de la chaîne linéaire de 4 tâches
- Bénin : même espace de configurations



Propriétés de l'initialisation

Impact du coloriage

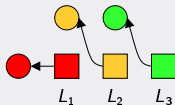
- Deux coloriages de la chaîne linéaire de 4 tâches
- Bénin : même espace de configurations



Propriétés de l'initialisation

Impact du coloriage

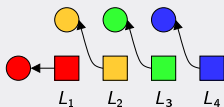
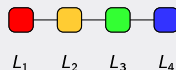
- Deux coloriages de la chaîne linéaire de 4 tâches
- Bénin : même espace de configurations



Propriétés de l'initialisation

Impact du coloriage

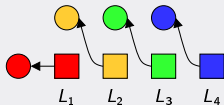
- Deux coloriages de la chaîne linéaire de 4 tâches
- Bénin : même espace de configurations



Propriétés de l'initialisation

Impact du coloriage

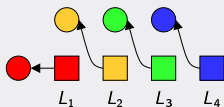
- Deux coloriages de la chaîne linéaire de 4 tâches
- Bénin : même espace de configurations



Propriétés de l'initialisation

Impact du coloriage

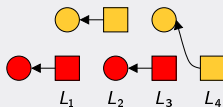
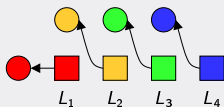
- Deux coloriages de la chaîne linéaire de 4 tâches
- Bénin : même espace de configurations



Propriétés de l'initialisation

Impact du coloriage

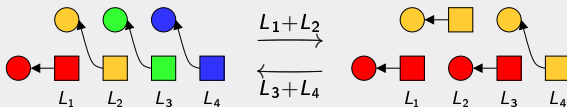
- Deux coloriages de la chaîne linéaire de 4 tâches
- Bénin : même espace de configurations



Propriétés de l'initialisation

Impact du coloriage

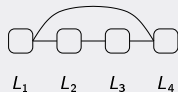
- Deux coloriages de la chaîne linéaire de 4 tâches
- Bénin : même espace de configurations



Propriétés de l'initialisation

Impact du coloriage

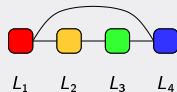
- Deux coloriage de l'anneau chaîné de 4 tâches
- Espaces de configurations disjoints



Propriétés de l'initialisation

Impact du coloriage

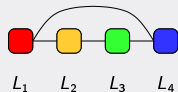
- Deux coloriage de l'anneau chaîné de 4 tâches
- Espaces de configurations disjoints



Propriétés de l'initialisation

Impact du coloriage

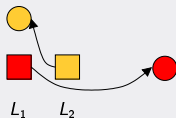
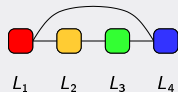
- Deux coloriages de l'anneau chaîné de 4 tâches
- Espaces de configurations disjointes



Propriétés de l'initialisation

Impact du coloriage

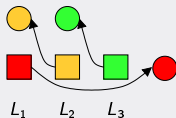
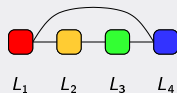
- Deux coloriages de l'anneau chaîné de 4 tâches
- Espaces de configurations disjoints



Propriétés de l'initialisation

Impact du coloriage

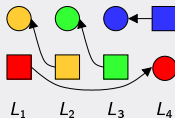
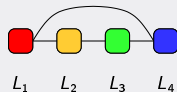
- Deux coloriages de l'anneau chaîné de 4 tâches
- Espaces de configurations disjointes



Propriétés de l'initialisation

Impact du coloriage

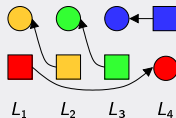
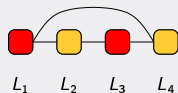
- Deux coloriage de l'anneau chaîné de 4 tâches
- Espaces de configurations disjoints



Propriétés de l'initialisation

Impact du coloriage

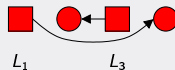
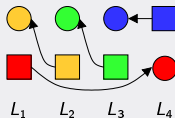
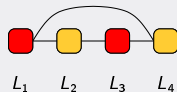
- Deux coloriages de l'anneau chaîné de 4 tâches
- Espaces de configurations disjointes



Propriétés de l'initialisation

Impact du coloriage

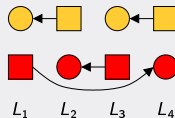
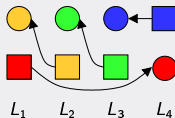
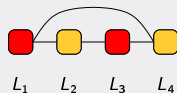
- Deux coloriages de l'anneau chaîné de 4 tâches
- Espaces de configurations disjointes



Propriétés de l'initialisation

Impact du coloriage

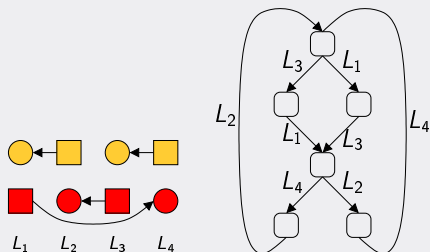
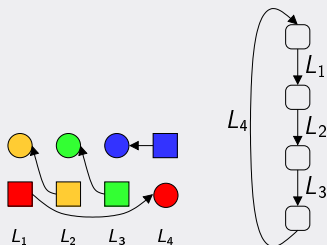
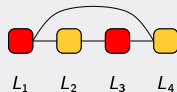
- Deux coloriage de l'anneau chaîné de 4 tâches
- Espaces de configurations disjointes



Propriétés de l'initialisation

Impact du coloriage

- Deux coloriage de l'anneau chaîné de 4 tâches
- Espaces de configurations disjointes



Plan

- 1 Algorithmes à front d'onde
- 2 Accès aux données
- 3 Synchronisation
- 4 Résultats expérimentaux
 - Implémentation
 - Environnement expérimental
 - Validation
- 5 Conclusions et perspectives

Détails d'implémentation

PARXXL

- C++
- *Livermore Kernel 23* pour le stockage par blocs
- Réutilisation maximale du code pour le stockage étendu
 - Transformation vers l'agencement classique
 - Réutilisation du code de calcul
 - Transformation vers l'agencement étendu
- E/S avec **read** et **write** au lieu de **mmap**
- ORWL basés sur des **pthread_cond_t**

Plan

- 1 Algorithmes à front d'onde
- 2 Accès aux données
- 3 Synchronisation
- 4 Résultats expérimentaux
 - Implémentation
 - **Environnement expérimental**
 - Validation
- 5 Conclusions et perspectives

Grid'5000

Machines de 3 clusters

- *Grelon* - Nancy
 - Bi-processeurs bi-cœurs
 - 2 Go RAM
- *Capricorne* - Lyon
 - Bi-processeurs mono-cœurs
 - 2 Go RAM
- *Chinqchint* - Lille
 - Bi-processeurs quad-cœurs
 - 8 Go RAM

Plan

- 1 Algorithmes à front d'onde
- 2 Accès aux données
- 3 Synchronisation
- 4 Résultats expérimentaux
 - Implémentation
 - Environnement expérimental
 - **Validation**
- 5 Conclusions et perspectives

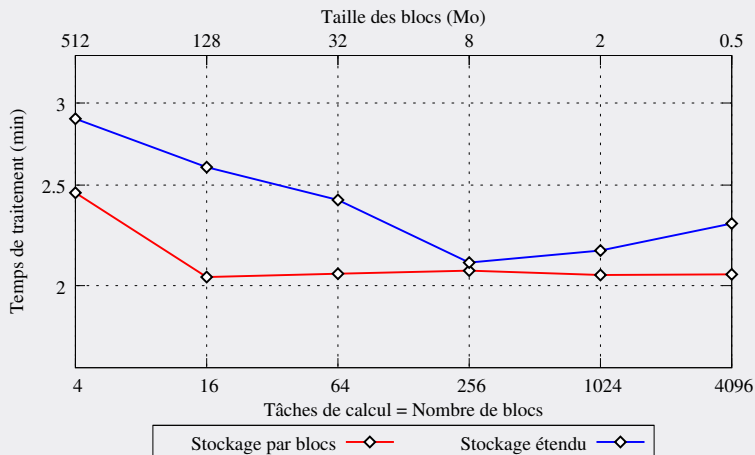
Stockage étendu

Expériences

- Comparaison avec le stockage par blocs
- Comparaison des coûts de pré- et post-traitements
- Comparaison des temps d'exécution d'une itération du *Livermore Kernel 23*

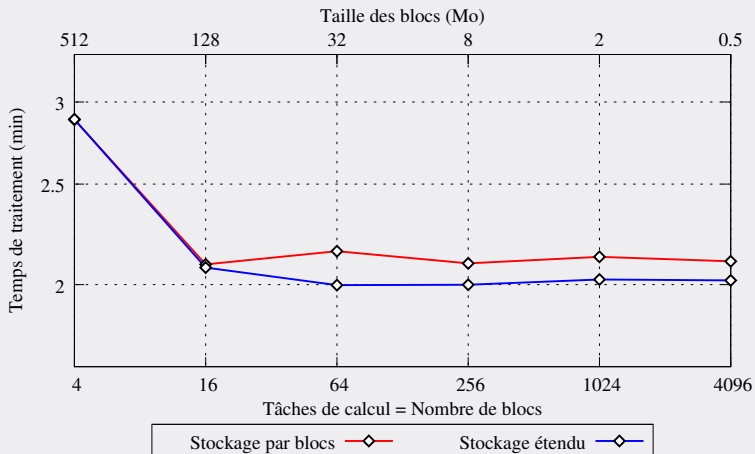
Coûts de pré-traitement

Sur Chinqchint



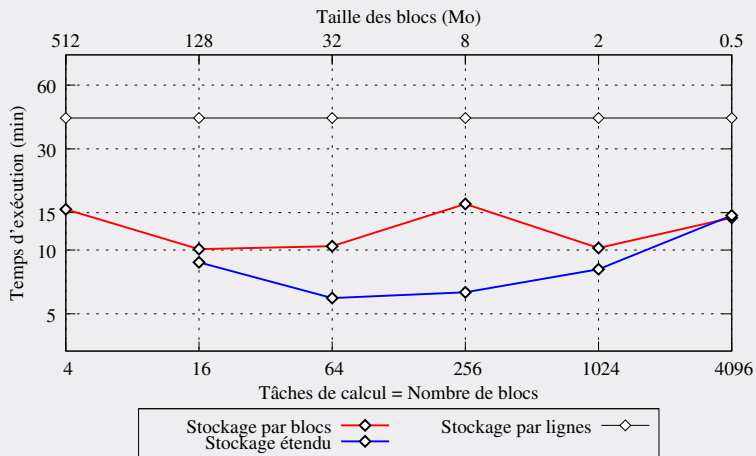
Coûts de post-traitement

Sur Chinqchint



Comparaison des performances

Sur Capricorne



Comparaison des performances

Une itération du *Livermore Kernel 23*

| | Gain (%) | | |
|-------------------|------------------------|-------------------------|------------------------|
| | <u>Blocs</u> Lignes | <u>Étendu</u> Lignes | <u>Étendu</u> Blocs |
| <i>Grelon</i> | 74.8 | 89.8 | 59.6 |
| <i>Capricorne</i> | 75.9 | 85.5 | 39.6 |
| <i>Chinqchint</i> | 73.5 | 75.3 | 6.7 |

- Le stockage étendu est plus performant que le stockage par blocs

Out-of-Core

Expérience

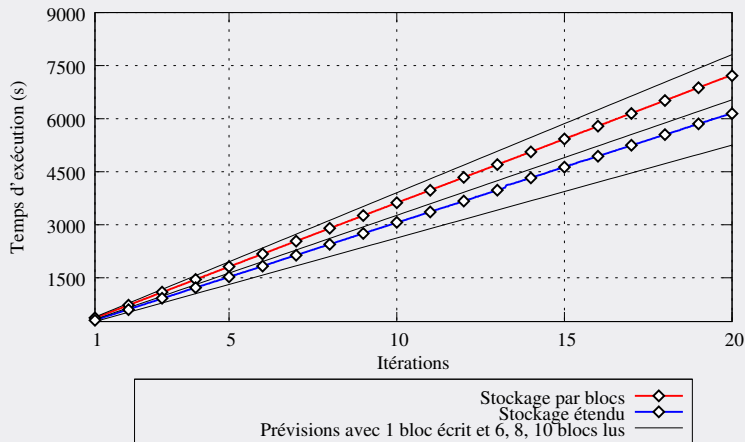
- 20 itérations du *Livermore Kernel 23*

Prévisions

- Pire cas : lecture de 10 blocs
- Meilleur cas : lecture de 6 blocs
- Dans tous les cas : écriture d'1 bloc

Comparaison des performances

Sur Grelon

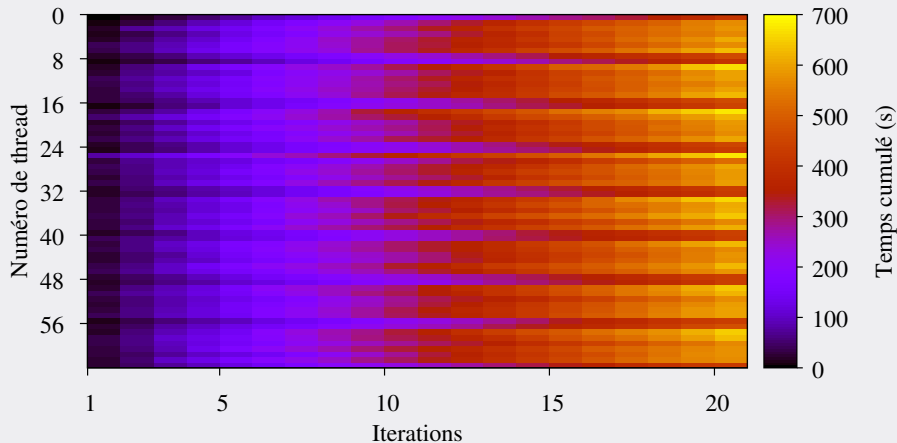


Homogénéité

Expérience

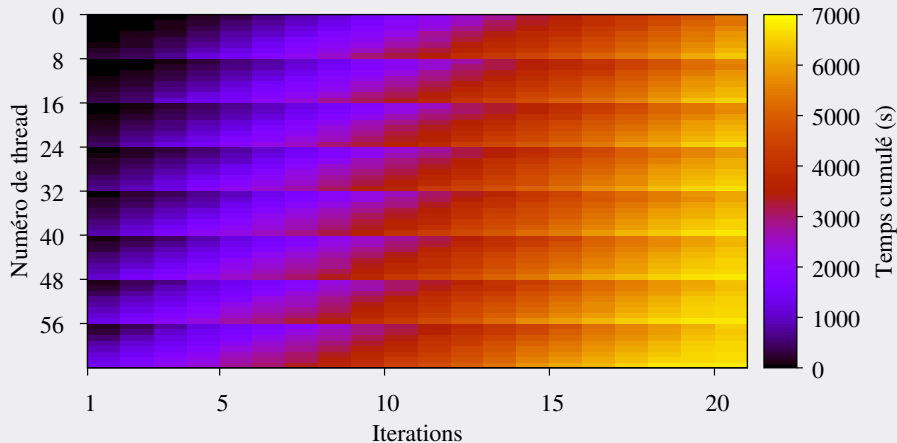
- 20 itérations du *Livermore Kernel 23*
- 2 mesures par thread et par itération
 - Temps de calcul et d'E/S
 - Temps de synchronisation sur les ORWL

Temps de calcul et d'E/S

Sur *Grelon*

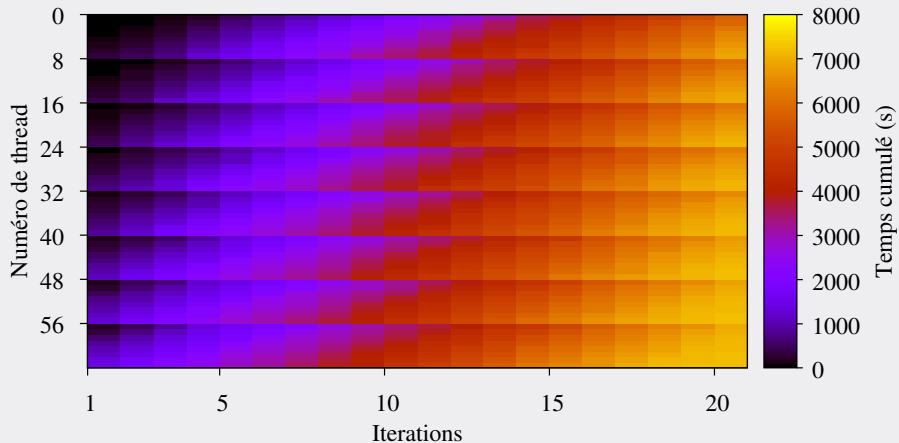
Temps de synchronisation

Sur *Grelon*



Temps total

Sur *Grelon*



Plan

- 1 Algorithmes à front d'onde
- 2 Accès aux données
- 3 Synchronisation
- 4 Résultats expérimentaux
- 5 Conclusions et perspectives

Conclusions

Stockage étendu

- Gain substantiel par rapport au stockage par blocs
- Facilité de mise en œuvre
- Surcoût négligeable

ORWL

- Absence d'interblocage
- Homogénéité
- Interface similaire aux outils existants
- Validation expérimentale des performances

Perspectives

Applications réelles

- Collaboration avec D. Komatitsch et R. Martin de l'université de Pau
- Simulation de transferts thermiques
 - Version séquentielle en Fortran
 - Portage en C++ au cours d'un stage
 - En cours de parallélisation
- Simulation de propagation d'une onde sismique
 - Problème tri-dimensionnel

Nouvelles utilisations

- Extension du modèle des ORWL
- Implémentation distribuée
- Modélisation des verrouillages d'intervalles d'octets

Publications

- ▶ Pierre-Nicolas Claus, Jens Gustedt et Frédéric Suter.
Out-of-Core Wavefront Computations with Reduced Synchronization.
16th Euromicro International Conference on Parallel, Distributed and network-based Processing.
IEEE, 2008.
- ▶ Pierre-Nicolas Claus et Jens Gustedt.
Iterative Computations with Ordered Read-Write Locks.
Journal of Parallel and Distributed Computing
Elsevier, 2009.
- ▶ Pierre-Nicolas Claus et Jens Gustedt.
Experimenting Iterative Computations with Ordered Read-Write Locks.
18th Euromicro International Conference on Parallel, Distributed and network-based Processing.
IEEE, 2010.